

Поверхность изолятора в этом случае расположена в квазиоднородном поле, обеспечивая максимальное НПП. При $n=3$ поверхность изолятора расположена в неоднородном поле, что приводит к снижению НПП.

Таким образом, результаты эксперимента показывают возможность повышения НПП изолятора в 1.2–1.5 раза за счет придания определенной формы его поверхности.

Список литературы

- [1] Вальтер А. Ф., Инге Л. Д. // ЖТФ. 1932. Т. 11. Вып. 6. С. 582–587.
- [2] Ушаков В. Я., Муратов В. М., Лопатин Б. В. и др. // Электричество. 1980. № 12. С. 56–58.
- [3] Куртенков Г. Е. // Электронная обработка материалов. 1973. № 6. С. 53–56.
- [4] Губкин А. Н. Физика диэлектриков. М., 1971. 272 с.
- [5] Усов А. Ф., Семкин Б. В., Зиновьев Н. Т. Переходные процессы в установках электроимпульсной технологии. Л., 1987. 189 с.
- [6] Говорков В. А. Электрические и магнитные поля. М.; Л., 1960. 463 с.

Научно-исследовательский институт
высоких напряжений
при Томском политехническом институте
им. С. М. Кирова

Поступило в Редакцию
26 июля 1989 г.

08; 12

Журнал технической физики, т. 60, в. 9, 1990

© 1990 г.

РАСПИРНЕНИЕ СПЕКТРАЛЬНОГО ДИАПАЗОНА НЕКОЛЛИНЕАРНОГО АКУСТООПТИЧЕСКОГО ФИЛЬТРА

В. М. Епихин, Ф. Л. Визен

Важнейшим параметром акустооптического фильтра (АОФ), работающего в качестве дисперсионного элемента спектрометра, является диапазон спектральной перестройки λ_1 – λ_2 , обусловленный полосой управляющих частот f_1 – f_2 . Из основных соотношений для АОФ, полученных в [1–3], следует, что при условии нормальной дисперсии материала светозвукопровода АОФ ($dn/d\lambda < 0$, где n — показатель преломления) относительный спектральный диапазон классического АОФ в принципе не может превышать величины относительного частотного диапазона

$$\frac{\lambda_2 - \lambda_1}{\lambda_1} = \frac{\Delta\lambda}{\lambda_1} < \frac{f_2 - f_1}{f_1} = \frac{\Delta f}{f_1}. \quad (1)$$

Последняя обычно ограничена добротностью системы светозвукопровод—связующий слой—электроакустический пьезообразователь (ПП)—ВЧ электрический тракт. Увеличение полосы Δf — серьезная техническая задача, для ее решения необходимо совершенствование технологии изготовления ПП и электрических схем его согласования с ВЧ генератором. Дополнительные трудности возникают при $\Delta f/f_1 \geq 2$ и связаны с возникновением паразитных полос пропускания спектрометра («духов»), обусловленных кратными гармониками ВЧ генератора. На практике относительная частотная перестройка обычно не превышает октаву, т. е.

$$\frac{\Delta\lambda}{\lambda_1} < \frac{\Delta f}{f_1} < 2.$$

Возникает вопрос, можно ли расширить спектральный диапазон АОФ, не увеличивая полосу рабочих частот и оставляя в силе требование большой угловой апертуры [2]. Цель данной работы — показать возможность создания АОФ, в котором относительный спектральный диапазон значительно (приблизительно в два раза) превышает относительный частотный диапазон (при этом неравенство (1) нарушается), рассмотреть основные характеристики такого фильтра и его особенности.

Согласно [3, 4], в одноосном кристалле для каждого значения угла ориентации звукового волнового вектора \mathbf{q} в интервале углов $0 \leq \gamma < 19^\circ$ существуют два значения Θ_1 и Θ_2 угла ориентации световых волновых векторов \mathbf{K}_1^0 и \mathbf{K}_2^0 , для которых одновременно выполняется

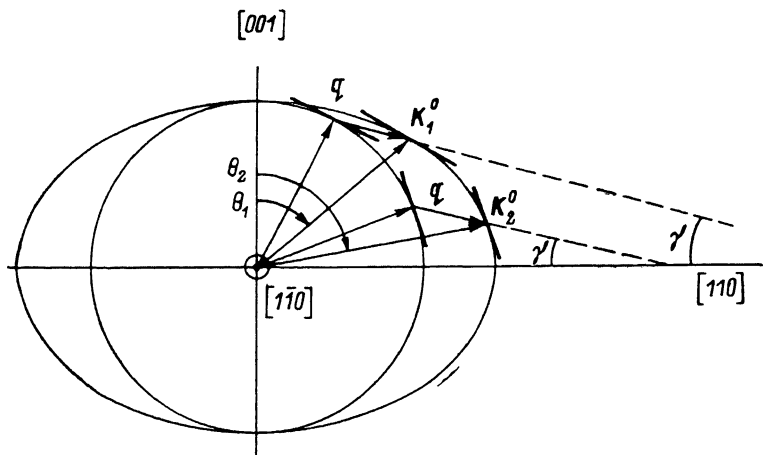


Рис. 1. Векторная диаграмма акустооптического взаимодействия в двухканальном АОФ.

условие большой угловой апертуры. Указанная двузначность функции $\Theta(\gamma)$ позволяет осуществить конструкцию двухканального АОФ, в котором происходит одновременная оптимальная фильтрация анализируемого излучения на одной ультразвуковой волне (УЗВ) в двух спектральных поддиапазонах (каналах), в результате суммарный спектральный диапазон расширяется.

Суть предлагаемой конструкции АОФ понятна из рисунков, где показаны векторная диаграмма акустооптического взаимодействия (рис. 1), эскиз светозвукопровода двухканального АОФ (рис. 2) и взаимное расположение поддиапазонов на спектральной оси (рис. 3). Для определенности рассмотрен кристалл титанат-лития (Li_2O_3). Свет на входе в кристалл поляризован в плоскости рисунка для уменьшения потерь на отражение. Входная оптическая ось АОФ вне кристалла совпадает для обоих каналов и расположена в плоскости (110) под углом α к плоскости ПП. Входная оптическая грань первого канала расположена параллельно оси $[110]$ под углом β к плоскости ПП. Входная оптическая грань второго канала совпадает с плоскостью ПП.

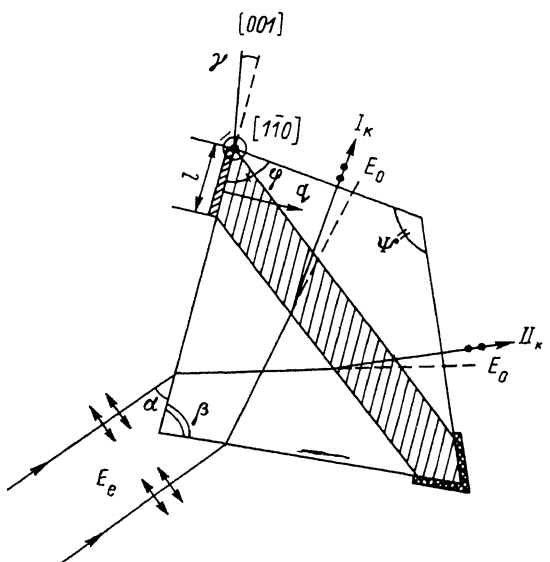


Рис. 2. Эскиз светозвукопровода двухканального АОФ.

Для расчета параметров γ , Θ_1 , Θ_2 двухканального АОФ на TeO_2 при заданной полосе управляемых частот $f_1 - f_2$ и перекрытии спектральных каналов $\Delta\lambda$ необходимо решить систему уравнений [4]

$$\operatorname{tg} \gamma = \frac{\cos [\operatorname{arctg} (\gamma^2 \operatorname{tg} \Theta)] - A(\Theta) \cos \Theta}{A(\Theta) \sin \Theta - \sin [\operatorname{arctg} (\gamma^2 \operatorname{tg} \Theta)]}, \quad (2)$$

$$\Phi(\gamma, \Theta_1, f_1) - \Phi(\gamma, \Theta_2, f_2) = \Delta\lambda, \quad (3)$$

где Θ_1 , Θ_2 — корни уравнения (2), $\Theta_1 = \min\{\Theta_1, \Theta_2\}$, $f_1 = \min\{f_1, f_2\}$, $\lambda_1 = \min\{\lambda_1, \lambda_2\}$,

$$\Phi(\gamma, \theta, f) = \frac{V \cdot n_0 \cdot A(\theta)}{f} \sin(\theta - \gamma) \left\{ 1 - \left[1 - \frac{(1 - \eta^2) \sin^2 \theta}{\sin^2(\theta - \gamma)} \right]^{1/2} \right\},$$

$$A(\theta) = (\eta^2 \sin^2 \theta + \cos^2 \theta)^{-1/2}; \quad \eta = \frac{n_0}{n_e},$$

$$v = \left\{ \frac{[(c_{11} - c_{12})/2] \cos^2 \gamma + c_{44} \sin^2 \gamma}{\rho} \right\}^{1/2},$$

где v — скорость УЗВ, c_{ij} — упругие константы, ρ — плотность материала светозвукопровода.

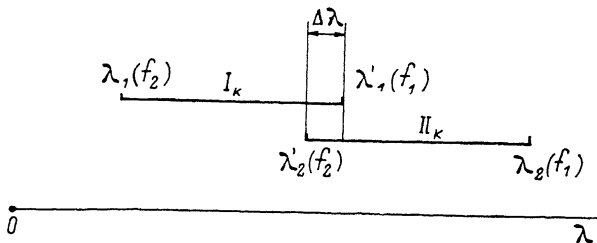


Рис. 3. Расположение поддиапазонов двухканального АОФ на спектральной оси.

Для учета дисперсии использовались аналитические зависимости показателей преломления $n_0(\lambda)$ и $n_e(\lambda)$, полученные в [5]. Угол ориентации входной оптической оси α и углы призмы светозвукопровода β , φ , ψ определяются следующими выражениями:

$$\begin{aligned} \alpha &= 90^\circ - \arcsin[n_0 A(\theta_2) \cos(\theta_2 - \gamma)], \\ \beta &= 90^\circ + \theta_1 - \gamma - \operatorname{arctg} \left[\frac{\sin(\alpha - \theta_1 + \gamma)}{n_0 A(\theta_1) - \cos(\alpha - \theta_1 + \gamma)} \right], \\ \varphi &= 90^\circ + \gamma - \operatorname{arctg}(\eta^2 \tan \theta_1), \\ \psi &= 180^\circ + \theta_1 - \operatorname{arctg}(\eta^2 \tan \theta_2), \end{aligned} \quad (4)$$

причем при вычислении θ_2 , α и ψ по формулам (2), (4) в $\eta = n_0/n_e$ использовалось значение $\lambda = \lambda_2^* = (\lambda_2 + \lambda_1)/2$, а при вычислении θ_1 , φ по формулам (2), (4) в $\eta = n_0/n_e$ использовалось значение $\lambda = \lambda_1^* = (\lambda'_1 + \lambda_1)/2$. Углы α , β , φ , ψ подобраны таким образом, что излучение с длинами волн, соответствующими серединам спектральных поддиапазонов, распространяется внутри кристалла точно под оптимальными углами к оптической оси $\theta_1(\gamma)$ и $\theta_2(\gamma)$, а волновые векторы продифрагировавшего излучения ортогональны выходным граням АОФ.

Приведенные выше формулы полностью определяют геометрию двухканального АОФ. Границы спектральных поддиапазонов определяются по формулам

$$\begin{aligned} \lambda_1 &= \Phi(\gamma, \theta_1, f_2), \quad \lambda'_1 = \Phi(\gamma, \theta_1, f_1), \\ \lambda'_2 &= \Phi(\gamma, \theta_2, f_2), \quad \lambda_2 = \Phi(\gamma, \theta_2, f_1). \end{aligned}$$

Если заданными параметрами являются спектральный диапазон $\lambda_1 - \lambda_2$ и перекрытие спектральных каналов $\Delta\lambda$, то расчет геометрии АОФ ($\gamma, \theta_1, \theta_2$) сводится к решению системы уравнений

$$\tan \gamma = \frac{\cos[\operatorname{arctg}(\eta^2 \tan \theta)] - A(\theta) \cos \theta}{A(\theta) \sin \theta - \sin[\operatorname{arctg}(\eta^2 \tan \theta)]},$$

$$\begin{aligned} f_1 &= F(\gamma, \theta_2, \lambda_2), \quad f_2 = F(\gamma, \theta_1, \lambda_1), \\ \Phi(\gamma, \theta_1, f_1) - \Phi(\gamma, \theta_2, f_2) &= \Delta\lambda, \end{aligned}$$

где

$$F(\gamma, \theta, \lambda) = \frac{V n_0 A(\theta)}{\lambda} \sin(\theta - \gamma) \left\{ 1 - \left[1 - \frac{(1 - \eta)^2 \sin^2 \theta}{\sin^2(\theta - \gamma)} \right]^{1/2} \right\},$$

остальные обозначения прежние, формулы для α , β , φ , ψ совпадают с (4).

Мерой, селектирующей способности АОФ, может служить оценка ширины аппаратной функции по уровню 0.5 $\Delta\lambda_{0.5}$ [6]

$$\Delta\lambda_{0.5} \simeq \frac{0.9\lambda}{L \sin^2 \theta \cdot b},$$

где λ — длина волны пропускания; L — длина взаимодействия свет—звук, т. е. расстояние, на котором световой пучок пересекает звуковой столб;

$$b = \Delta n \left(1 - \frac{\lambda}{\Delta n} \frac{\partial \Delta n}{\partial \lambda} \right)$$

— дисперсионная константа.

Результаты и их обсуждение

Результаты численного решения на ЭВМ системы уравнений (2), (3) и спектральные характеристики для четырех вариантов двухканального АОФ сведены в таблицу. Длина ПП для всех вариантов АОФ принималась одинаковой $l=1$ см. Смысл обозначений $f_1, f_2, \Theta_1, \Theta_2, \gamma$,

Параметры различных вариантов двухканального АОФ на TeO_2

N	1	2	3	4
f_1 , МГц	40	60	120	140
f_2 , МГц	60	90	180	210
Θ_1 , град	23.0	22.8	23.6	26.2
Θ_2 , град	80.0	80.1	79.8	78.6
γ , град	9.91	9.80	10.10	11.08
λ_1 , мкм	1.138	0.766	0.435	0.422
λ'_1 , мкм	1.708	1.149	0.652	0.633
λ'_2 , мкм	1.697	1.139	0.602	0.542
λ_2 , мкм	2.546	1.708	0.903	0.814
$\Delta\lambda_1$, Å	62.4	25.8	4.6	3.7
$\Delta\lambda'_1$, Å	147.5	64.6	16.3	12.8
$\Delta\lambda'_2$, Å	30.7	13.1	2.9	2.3
$\Delta\lambda_2$, Å	70.6	30.9	7.9	6.5
P , Вт	4.6	2.0	0.45	0.40
T_1 , отн. ед.	0.27	0.21	0.21	0.29
T'_1 , отн. ед.	0.98	0.98	1.0	1.0
T'_2 , отн. ед.	0.51	0.50	0.50	0.6
T_2 , отн. ед.	0.25	0.24	0.22	0.26

$\gamma, \lambda_1, \lambda'_1, \lambda_2, \lambda'_2$ ясен из рис. 1—3; $\Delta\lambda_1, \Delta\lambda'_1, \Delta\lambda'_2, \Delta\lambda_2$ — ширины аппаратной функции на концах спектральных поддиапазонов.

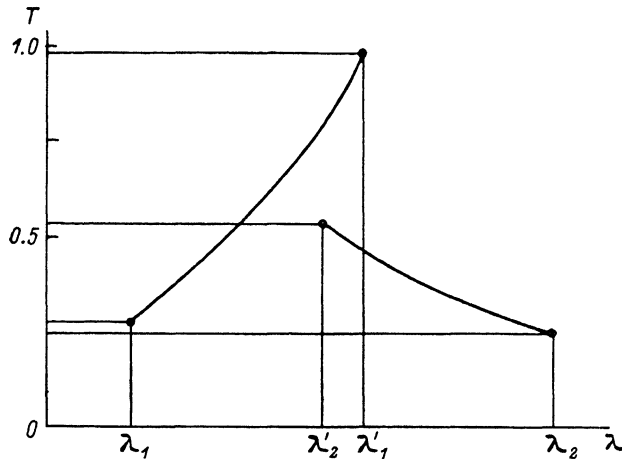


Рис. 4. Зависимость дифракционной эффективности двухканального АОФ от длины волны излучения для варианта $N=1$.

Как видно из таблицы, перестройка управляющей частоты всего в 1.5 раза обеспечивает перестройку полного спектрального диапазона АОФ не менее чем на октаву.

Представляет практический интерес спектральная зависимость эффективности фильтра в каждом из каналов при различных значениях мощности УЗВ, распространяющейся в кри-

сталле. Согласно [6], эффективность неколлинеарного АОФ при нулевой расстройке дается выражением

$$T = \sin^2 \left(\frac{\pi^2}{2} \frac{M_2}{\lambda^2} P \frac{L}{H} \right)^{1/2},$$

где $M_2 = n_0^6 A^3 (\Theta) p^2 / \rho V$ — коэффициент акустооптического качества, p — эффективная фотопропускная константа [7]; P — мощность УЗВ, λ — длина волны света в вакууме, H — поперечный размер ПП.

Анализ показывает, что неравномерность эффективности АОФ в полном спектральном диапазоне минимальна при выполнении условия

$$P_1^{\max} (\lambda'_1) \leq P < P_2^{\max} (\lambda'_2), \quad (5)$$

где $P_{1,2}^{\max}$ — значения мощности УЗВ, определяемые соотношениями

$$T_1 (\lambda'_1, P_1^{\max}) = 1, \quad T_2 (\lambda'_2, P_2^{\max}) = 1,$$

т. е. в «запредельном» режиме для первого канала, когда мощность УЗВ превышает необходимую для максимальной (единичной) эффективности в каждой точке первого спектрального поддиапазона. В таблицу включены результаты расчета эффективности АОФ на границах поддиапазонов T_1 , T'_1 , T'_2 , T_2 для некоторых значений P , удовлетворяющих условию (5) при $H=1$ см. На рис. 4 в качестве примера приведена спектральная зависимость эффективности в каждом из спектральных каналов, соответствующая варианту $N=1$ таблицы.

Выходы

1. Предлагаемый способ позволяет расширить спектральный диапазон АОФ при заданной полосе управляющих частот. Эта цель достигается увеличением степени интеграции оптических граней в АОФ, т. е. объединением в одном светозвукопроводе с одним звуковым пучком двух широкоугольных АОФ с перекрывающимися спектральными поддиапазонами.

2. Этот способ позволяет решить обратную задачу — сузить полосу частот УЗВ при заданном спектральном диапазоне. В этом случае время перестройки фильтра по диапазону также уменьшается пропорционально степени сужения частотной полосы.

3. Спектральное перекрытие $\Delta\lambda$ может иметь любой знак. При $\Delta\lambda < 0$ фильтр селектирует излучение в двух разнесенных по спектру поддиапазонах, положение которых определяется конкретными условиями технической задачи. При этом алгоритм расчета параметров АОФ не изменяется.

В заключение благодарим Е. Я. Рацба за помощь при проведении расчетов на ЭВМ.

Список литературы

- [1] Harris S. E., Wallace R. W. // J. Opt. Soc. Am. 1969. Vol. 59. N 6. P. 744—747.
- [2] Chang I. C. // Appl. Phys. Lett. 1974. Vol. 25. N 7. P. 370—372.
- [3] Епихин В. М., Визен Ф. Л., Никитин Н. В., Калинников Ю. К. // ЖТФ. 1982. Т. 52. Вып. 12. С. 2405—2410.
- [4] Епихин В. М., Визен Ф. Л., Пальцев Л. Л. // ЖТФ. 1987. Т. 57. Вып. 10. С. 1910—1917.
- [5] Uchida N. // Phys. Rev. B. 1971. Vol. 4. N 10. P. 3736—3774.
- [6] Chang I. C. // Opt. Eng. 1981. Vol. 20. N 6. P. 824—829.
- [7] Coquin G. A., Pinnow D. A., Warner A. W. // J. Appl. Phys. 1971. Vol. 42. N 6. P. 2162—2168.

Поступило в Редакцию
1 августа 1989 г.